

## طراحی لیزر پالسی Nd:YAG با هندسه‌ی تیغه‌ای بر مبنای ساختار نوسانگر-تقویت کننده

جواد صالحی نظام آبادی<sup>۱</sup>، عباس ملکی<sup>۱</sup>، مسعود کاوشن تهرانی<sup>۱</sup> و حمید سلمانی نژاد<sup>۱</sup>

<sup>۱</sup> شاهین شهر، دانشگاه صنعتی مالک اشتر، پژوهشکده علوم و فناوری اپتیک و لیزر

چکیده - در این مقاله به طراحی لیزر پالسی Nd:YAG با هندسه‌ی تیغه‌ای بر مبنای ساختار نوسانگر-تقویت کننده پرداخته شده است. جهت کاهش اثرات حرارتی و در نتیجه افزایش کیفیت پرتو خروجی لیزر، از هندسه‌ی تیغه‌ای در طبقات تقویت کننده استفاده شده و با استفاده از معادله‌ی تقویت انرژی فرانتز-نودویک در هندسه‌ی تیغه‌ای، انرژی بهینه‌ی خروجی از طبقات تقویت کننده محاسبه شده است. یکی از کمیت‌های مهم در تقویت انرژی، عامل پرشدگی تیغه است که در حالت تابش موازی و عمود به ترتیب برای لکه‌ی ۵mm و ۵.73mm، مقادیر  $f=0.93$  و  $f=0.99$  بدست آمده است. همچنین خروجی نهایی انرژی طبقات تقویت ۹۲۸mJ محاسبه شده است که با ۸۵۰mJ انرژی خروجی تجربی مطابقت خوبی داشته است.

کلید واژه - هندسه‌ی تیغه‌ای، عامل پرشدگی، بلور Nd:YAG، طبقات تقویت کننده

## Design of a pulsed Nd:YAG laser with slab geometry based on a master oscillator power amplifier configuration

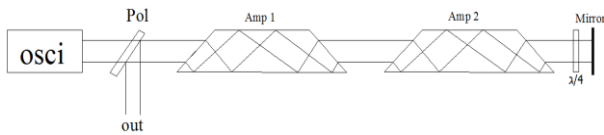
J. Salehi Nezam Abadi<sup>1</sup>, A. Maleki<sup>1</sup>, M. Kavosh Tehrani<sup>1</sup> H.Salmani Nejad<sup>1</sup>

<sup>1</sup> Optic & Laser Science & Technology Research Center, Malek-ashtar University Of Technology, Shahin Shahr, Isfahan

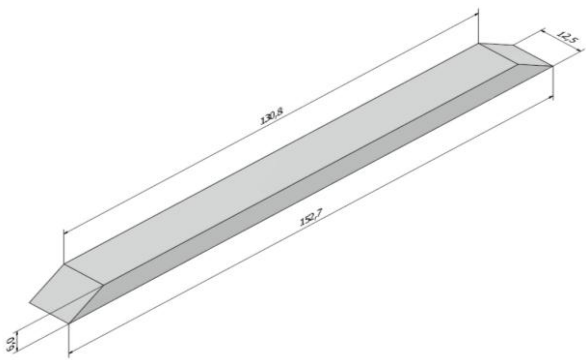
**Abstract-** In this paper, the design of a slab geometry based on a master oscillator power amplifier (MOPA) structure has been described. The slab geometry has been used for decreased of the thermal lensing effects that the output beam quality is increased. By using the Frantz-Nodvik equation of the amplifier energy in the slab geometry, the optimum output energy from amplified stages has been calculated. The fill factor in one of the important parameters of the energy amplification process, that in the parallel and perpendicular of the input surface are obtained for beam diameters of 5.18 and 5.73 mm ; respectively. Also the extracted energy from last stage 928 mJ was calculated. This calculations data have been good agreement with the experimental results.

**Keywords:** Fill factor, Nd:YAG crystal, Slab geometry, stage amplifier

این مقاله در صورتی دارای اعتبار است که در سایت [www.opsi.ir](http://www.opsi.ir) قابل دسترسی باشد.



شکل (۱): طرحواره‌ی ساختار لیزری MOPA: شامل یک طبقه‌ی نوسانگر و دو طبقه‌ی تقویت کننده‌ی دو بار عبور همچنین در شکل (۲)، هندسه‌ی تیغه همراه با ابعاد تیغه که در محاسبه‌ی انرژی استفاده شده است، آورده شده است:



شکل (۲): هندسه و ابعاد تیغه: ضخامت تیغه ۰.۶mm، عرض تیغه ۱۳۰mm و طول تیغه ۱۲.۵mm

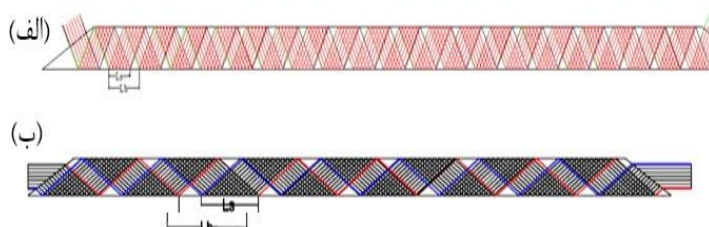
مقدار زاویه‌ی  $\theta$  که همان زاویه‌ی بازتاب داخلی کلی از سطح پایین تیغه است برابر  $32.47^\circ$  درجه می‌باشد.

## ۱-۲- عامل پرشدگی تیغه $f$

در اثر حرکت زیگ‌زاگ پرتو درون هندسه‌ی تیغه‌ای، کسری از حجم تیغه بوسیله‌ی پرتو عبوری اشغال می‌شود. میزان پرشدگی چنانچه که در شکل (۳) نشان داده شده از رابطه‌ی زیر بدست می‌آید:

$$f = \frac{L_s}{L_b} \quad (2)$$

که در آن  $L_s$ ، ردپای پرتو در سطح پایین تیغه و  $L_b$  فاصله‌ی بین بازتاب‌های متواالی را نشان می‌دهد.



شکل (۳) تیغه و مسیر زیگ‌زاگ پرتو: (الف) تابش عمودی ب) تابش موازی

## ۱- مقدمه

لیزر پالسی Nd:YAG پرتوان با دمش دیود لیزری به عنوان یکی از پرکاربردترین لیزرها در زمینه‌ی صنعت و تحقیقات محسوب می‌شود [۱-۳]. در سال ۱۹۶۹ مارتین و کرنویچ برای کمینه کردن اثر پدیده‌ی عدسی گرمایی، هندسه‌ی تیغه (SLAB) را به عنوان جایگزین هندسه‌ی میله‌ای برای محیط فعال لیزری پیشنهاد نمودند. در لیزرهای پرتوان Nd:YAG از هندسه‌ی تیغه‌ای برای طبقات تقویت کننده استفاده می‌شود [۴-۵].

در این مقاله، به طراحی ساختار هندسه‌ی تیغه‌ای در طبقات تقویت کننده لیزر پالسی Nd:YAG پرداخته شده است. بدین منظور، ابتدا با استفاده از معادله‌ی فرانتز-نودویک کمیت‌های موثر بویژه عامل پرشدگی  $f$  حالت تابش موازی و عمود پرتو به سطح شبیب دار تیغه، جهت استخراج انرژی بیشینه از تیغه، بهینه شده است. مقدار  $f$  برای تابش موازی و عمود برای لکه‌ی ۵.۱۸ و ۵.۷۳mm به ترتیب ۰.۹۳ و ۰.۹۹ بدست آمده است. پس از استخراج انرژی بیشینه، صحت معادله‌ی انرژی فرانتز-نودویک با نتایج آزمایشگاهی مورد راستی آزمایی قرار گرفت.

## ۲- مبانی طراحی ساختار MOPA

محاسبه‌ی تقویت انرژی در طبقات تقویت کننده از معادله‌ی انرژی فرانتز-نودویک، مطابق رابطه‌ی (۱) انجام می‌شود [۶].

$$E_{out} = \left( F_{sat} A \cos \theta \right) / f(2-f) \ln \left\{ 1 + \left[ \exp \left[ E_{in} / \left( F_{sat} A \cos \theta \right) \right] / \left( 1 / f(2-f) \right) \right] - 1 \right\}, \quad (1)$$

که در آن  $f$  عامل پرشدگی تیغه،  $F_{sat}$  شار اشباع محیط تقویت کننده،  $A$  سطح مقطع تیغه،  $\theta$  زاویه‌ی بازتاب داخلی کلی از سطح تیغه،  $E_{in}$  انرژی ورودی به تیغه،  $E_{stored}$  انرژی ذخیره شده در تیغه می‌باشد.

در این تحلیل از ساختار لیزری MOPA که دارای دو طبقه تقویت کننده با ساختار تیغه است، استفاده شده است که طرحواره‌ی آن در شکل (۱) ارائه شده است:

طبقه و مرحله‌ی عبور	قطر ورودی (mm)	عامل پرشدگی
Amp1 Pass1	3	0.54
Amp2 Pass1	4	0.72
Amp2 Pass2	5	0.90
Amp1 Pass2	5.5	0.93

### ۳-فرآیند محاسبه‌ی انرژی تقویت کننده‌ها

چنانچه ذکر گردید در ساختار MOPA از دو طبقه‌ی تقویت کننده با هندسه‌ی تیغه استفاده شده است. بنابراین با استفاده از مقادیر مختلف  $f$  و رابطه‌ی فرانتر-نودویک انرژی تقویت شده در هر مرحله و در هر طبقه محاسبه می‌شود. در طبقات تقویت کننده از لیزر دیود 808 nm در طول موج 1.6J استفاده شده است. طبق رابطه‌ی زیر، مقدار انرژی ذخیره شده در تیغه نیز قابل محاسبه است:

$$E_{stored} = \eta_T \eta_{ab} \eta_Q E_p \quad (5)$$

که در آن  $\eta_T$  بازده انتقال کاواک،  $\eta_{ab}$  بازده جذب تیغه‌ی Nd:YAG بازده کوانتمومی تیغه و  $E_p$  انرژی دمشی است.

در جداول (۲) تا (۵) نتایج محاسبات و همچنین در شکل های (۶) تا (۹) رسم نمودار انرژی خروجی بر حسب انرژی ورودی برای هر طبقه‌ی تقویت کننده پس از عبور اول و دوم آورده شده است.

جدول (۲) کمیت‌های پرتو خروجی از طبقه‌ی اول و عبور اول انرژی ورودی اولیه‌ی ورودی به طبقه‌ی اول 75mj:

واحد	مقدار	کمیت
-----	0.54	$f$
mJ	560	$E_{stored}$
mJ	225	$E_{out}$

جدول (۳) کمیت‌های پرتو خروجی از طبقه‌ی دوم عبور اول

واحد	مقدار	کمیت
-----	0.72	$f$
mJ	560	$E_{stored}$
mJ	537	$E_{out}$

جدول (۴) کمیت‌های پرتو خروجی از طبقه‌ی دوم عبور دوم

واحد	مقدار	کمیت
-----	0.9	$f$
mJ	240	$E_{stored}$
mJ	722	$E_{out}$

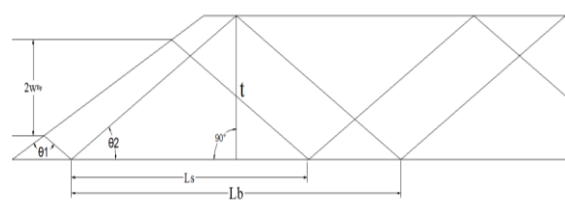
جدول (۵) کمیت‌های پرتو خروجی از طبقه‌ی دوم عبور دوم

### ۲-۱-۲-عامل پرشدگی در حالت تابش موازی

با بکارگیری هندسه‌ی شکل (۴) و قانون شکست اسنل، عامل پرشدگی تیغه در حالت تابش موازی طبق رابطه‌ی زیر محاسبه می‌شود:

$$f = \frac{2W_{Bp} \sin \theta_1}{2t \sin \theta_s \sin \theta_2} \quad (3)$$

که قطر پرتو ورودی،  $\theta_1$  زاویه‌ی اولین شکست،  $\theta_2$  همان زاویه‌ی شکست داخلی کلی و  $\theta_s$  زاویه‌ی برش تیغه و  $t$  ضخامت تیغه است. به ازای 5.18mm مقدار بیشینه‌ی قطر لکه‌ی ورودی که به دلیل امکان بازتاب به بیرون تیغه محدود شده است مقدار  $f=0.93$  محاسبه شد.

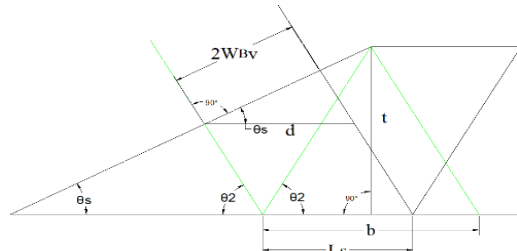


شکل (۴) هندسه‌ی تابش موازی

### ۲-۱-۲-عامل پرشدگی تیغه در حالت تابش عمود

اگر پرتو طبق شکل (۵) که عمود به سطح ورودی تیغه تابیده شود، مقدار  $f$  طبق رابطه‌ی زیر بدست می‌آید:

$$f = \frac{2W_{Bv}}{2t \sin \theta_s} \quad (4)$$

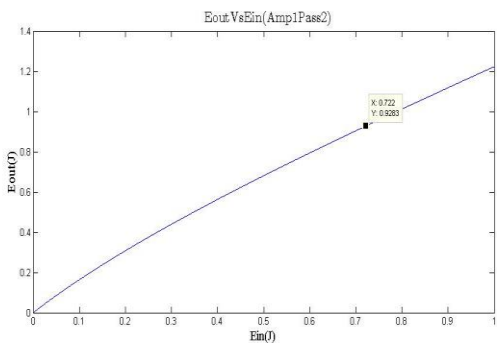


شکل (۵) هندسه‌ی تابش عمود

در حالت بیشینه با قطر لکه‌ی  $2W_{Bv}=5.73mm$  مقدار  $f=0.99$  محاسبه می‌شود.

جهت تنظیمات آسان لیزر و استخراج انرژی بیشینه، از روش تابش موازی استفاده گردید. در جدول (۱) نتایج محاسبات  $f$  به ازای مقادیر مختلف لکه‌ی ورودی در هر مرحله‌ی عبور و در هر طبقه ارائه شده است:

جدول (۱) عامل پرشدگی در هر مرحله تقویت



شکل (۹) نمودار انرژی خروجی بر حسب انرژی ورودی در طبقه ی اول عبور دوم (خروچی نهایی)

#### ۴-خلاصه ی نتایج محاسبات انرژی

در این بخش، نتایج محاسبات با نتایج تجربی در جدول (۶) مقایسه شده است:

جدول (۶) مقایسه ی نتایج محاسبات و نتایج تجربی انرژی خروجی

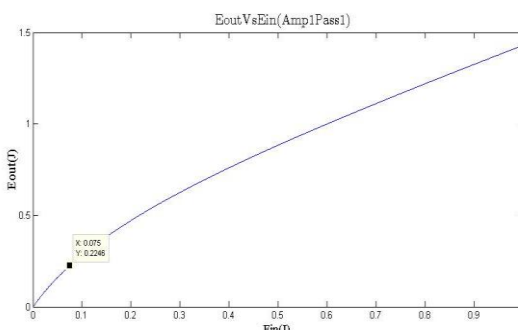
طبقه و عبور	نتایج محاسبات $E_{out}$	نتایج تجربی $E_{out}$
Amp1 Pass1	225 mJ	250 mJ
Amp2 Pass1	537 mJ	450 mJ
Amp2 Pass2	722 mJ	650 mJ
Amp1 Pass2	928 mJ	850 mJ

چنانچه مشاهده می شود نتایج تجربی با نتایج محاسبات انرژی تطابق خوبی دارد.

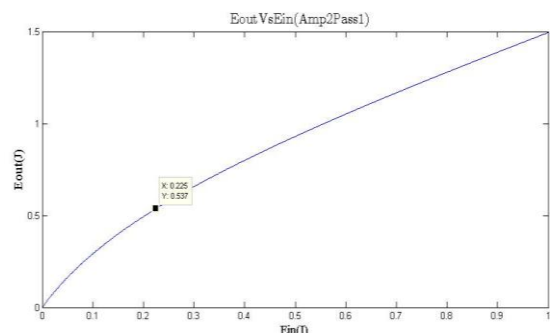
#### مراجع

- [1] Alexander Gaydavdzhy, Autom Trifonov, Ivan Bu.... “High-power diode pumped Nd:YAG master oscillator power amplifier system” proc. of SPIE vol.7501 75015-1.
- [2] A.K. sridharan , S.Saraf, and R.L.Byer “Yb:YAG master oscillator power amplifier for remote wind sensining” Applied Optics / vol 46 NO.30/ 20 october 2007 p.p 7552.
- [3] Shiguang Li, Xiupei Ma..... ”Laser-diode-pumped Zigzag slab Nd:YAG master oscillator power amplifier” Chinese Optics Letters col 11(7),07142(2013).
- [4]. W. S. Martin and J. P. Chernoch ”Multiple internal reflection face pumped laser” U.S. Patent 3 633 126, 1972.
- [5]. J. P. Chernoch, W. S. Martin, and J. C. Almasi, “Performance characteristics of a face pumped, face cooled laser, the mini-FPL” U.S. Air Force Avionics Lab., Wright Patterson Air Force Rase, OH, Tech. Reps. APAL-TR-71-3, 1971.
- [6] J. M. Eggleston, L. M. Frantz, , H. Injeyan, “Derivation of the Frantz-Nodvik Equation for Zig-Zag Optical Path, Slab Geometry Laser Amplifiers” IEEE journal of quantum electronics. vol. 25. no 8. august 1989

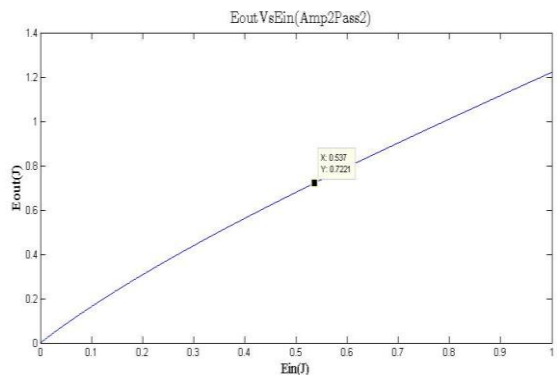
کمیت	واحد	مقدار
$f$	-----	0.93
$E_{stored}$	mJ	240
$E_{out}$	mJ	928



شکل (۶) نمودار انرژی خروجی بر حسب انرژی ورودی در طبقه ی اول عبور اول



شکل (۷) نمودار انرژی خروجی بر حسب انرژی ورودی در طبقه ی دوم عبور اول



شکل (۸) نمودار انرژی خروجی بر حسب انرژی ورودی در طبقه ی دوم عبور دوم